

大林組技術研究所

正会員 大内一

武田寿一

正会員 入沢賢一

前報告（その1，その2）に続いて、本報告は、面外加力の曲げせん断と面外加力の純曲げの実験結果をまとめたものである。

### 1. 曲げせん断実験（BSシリーズ）の実験結果と考察

**1.2 試験体及び加力** 表-1に試験体一覧表と実験結果を示す。試験体は、接合鉄筋比（ $P_s = \text{全水平主筋断面積}/\text{全断面積}$ ）・シャーコネクターの有無・載荷位置を変数とした計7体である。図-1に示すように、加力は中央一点単調載荷で、接合面際の加力（BS型）とJ.BOX中央の加力（BSA型）の2種類である。

**2.2 破壊経過** 載荷方法によって継手壁体のひびわれの特徴は、図-2に示す2種類に分けられた。

一体打は主筋曲げ降伏後斜引張破壊、継手壁体のBS型加力は主筋曲げ降伏直前で斜めせん断ひびわれから重ね継手破壊、BSA型加力は付着ひびわれを伴なって重ね継手破壊した。

### 1.3 荷重～変位曲線

(P～δ曲線)

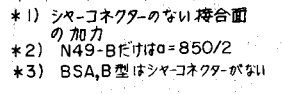
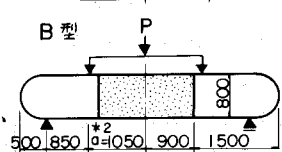
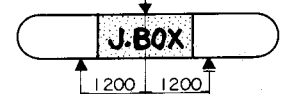
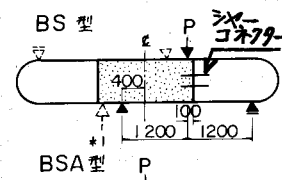
図-3に接合鉄筋比  $P_s =$ 

0.86%，1.34%のP～δ曲線線を示す。

継手壁体のBS型加力では、シャーコネクターがあると、一体打に比較して、初期剛性は約1/2と小さいものの、最大荷重時近傍では逆に剛性

が高い。シャーコネクターがない場合は更に剛性が低い。

一方、BSA型加力は、BS型と比べ、初期剛性は同じであるが、その後接合面近傍の付着ひびわれによって剛性低下が大きいが、変形能は良好であった。



\*1) シャーコネクターのない接合面の加力

\*2) N49-B寸法はa=850/2

\*3) BSA,B型はシャーコネクターがない

図-1 載荷方法

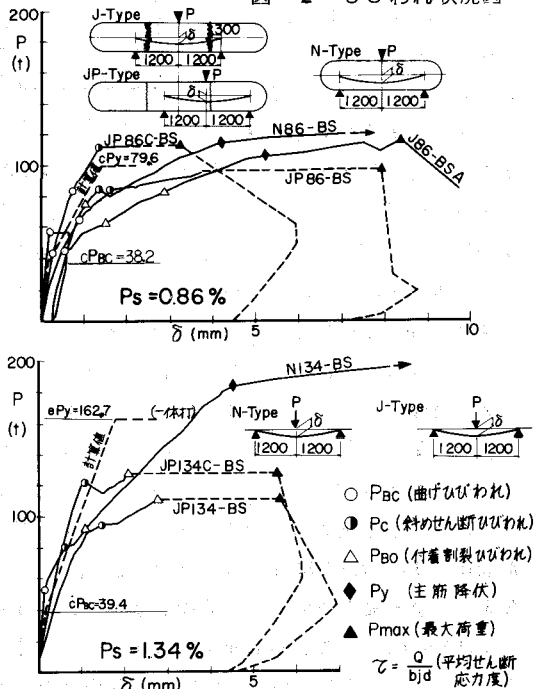


図-3 荷重～変位曲線（スパン中央部）

試験体 シリーズ	鉄筋 重量 kg/m <sup>3</sup>	コンクリート 強度 F <sub>c</sub> kg/m <sup>3</sup>	鉄筋 横断面 積 A <sub>s</sub> =A <sub>b</sub> (x10 <sup>-3</sup> )	試験体 重量 kg	斜めせん断ひびわれ 実 験 値 P <sub>c</sub> kN	斜 め せ ん 断 ひ び わ れ 度 A %	降伏荷重 実 験 値 P <sub>y</sub> kN	降伏荷重 計 算 値 P <sub>max</sub> kN	最大荷重 実 験 値 P <sub>max</sub> kN	最大荷重 計算値 P <sub>max</sub> kN	
N86 - BS-一体打	450	2.82	29	181	-863	85	99	0.88	115	996	1,10
JP86 - BS	450	2.74	25	136	-	84	102	0.93	-	99.8	11.8
JP86C - BS	453	2.81	26	134	-	112	13.3	1.21	-	99.8	30.6
J86 - BSA	470	2.85	30	160	-863	-	-	-	107	91.2	1.17
NI34 - BS-一体打	450	2.82	29	181	-	80	9.1	0.79	184	163	1.13
JP134 - BS	453	2.85	31	160	-769	94	11.5	1.00	-	155	208
BSA	487	2.84	29	158	-	122	14.7	1.24	-	155	321
JP134C - BS	487	2.84	29	158	-	128	15.4	1.32	-	128	321

計算式 (1) 斜めせん断ひびわれ (ACI規準)  $c_1 c_2 = Q504 \cdot F_c + 176 \cdot p \cdot d/a - A$   $a$ : シヤースパン(2) 下端主筋曲げ降伏荷重  $\sigma_{Py} (e\text{簡易法})$   $B$ : 鉄筋周長平均せん断応力度:  $\bar{\sigma} = Q/bjd$   $\bar{\sigma}$ : 重ね縫合せん断応力度  $\bar{\sigma}_s = M/l_{bjd}$  $p$ : 引張鉄筋比  $p = A_s/A_b$ 

表-1 BSシリーズの試験体一覧表と実験結果

1.4 強度 諸強度の実験値／計算値の比率を表-1に示す。B S型のラップ長32φの継手壁体は、鉄筋歪測定上では主筋降伏直前で重ね継手破壊したが、主筋曲げ降伏強度計算値をほぼ確保できた。一方、ラップ長25φの継手壁体では計算値より低い。

終局時の付着強度は、通常の地震時許容応力度30Kg/cm<sup>2</sup>(σ<sub>ek</sub>≥400Kg/cm<sup>2</sup>)に相当する。

## 2. 純曲げ実験(Bシリーズ)の実験結果と考察

### 2.1 試験体及び加力

表-2に試験体一覧表と実験結果を示す。試験体はJ49A-BだけJ.BOX用鉄筋籠の水平主筋を本体のD19からD22ICサイズアップした。他の試験体は一般部とJ.BOXとの鉄筋径は同じである。なお、N49-Bだけ純曲げスパンが他と異なる(図-3参照)。加力は、図-1に示すように、純曲げの単調載荷である。

2.2 破壊経過 一体打はいずれもコンクリート圧壊で耐力が決定した。地中継手壁体のひびわれ状況図は図-5に示すように、いずれも曲げひびわれがスパン中央部と接合面に集中し主筋が曲げ降伏した。J49-Bは両支点と圧縮縁コンクリートでアーチを形成し耐力をほぼ回復した後に、J49A-Bは曲げひびわれが分散し、いずれも重ね継手破壊した。

2.3 荷重～変位曲線(P～δ曲線) 図-4にP～δ曲線を示す。一体打No.49-Bの計算値を同図に示した。地中継手壁体は2体とも、地上一体打より若干弾性剛性が低いが、接合面での主筋降伏までほぼ同経路を示した。J49-Bは接合面と中央部が同時降伏、J49A-Bの中央部は主筋サイズが大きいため耐力は一体打と同等まで上がり破壊時にスパン中央部が曲げ降伏した。

2.4 強度 表-2に諸強度の実験値／計算値の比率を示す。降伏荷重の比率は、一体打の1.08に対し、地中継手壁体は接合面で0.83, 0.86と小さい。最大荷重では、地上一体打No.49-Bに比べ、継手壁体J49-Bは0.8倍、一方、J49A-Bは0.98倍でJ49-Bと同等の耐力を示した。即ち、J.BOX内の継手鉄筋籠の水平主筋をD19からD22へサイズアップしたことにより、地上一体打と同等の耐力が示された。

2.5 荷重～歪度曲線(P～ε曲線) 継手壁体J49-BのP～ε曲線を図-6に示す。接合面の歪度は初期荷重レベルから弾塑性的に低勾配で増大するが、スパン中央部と同時に曲げ降伏した。

3. 結び 前報(その1, その2)を含め総括的に評価すると、地中壁鉛直継手に設けたJ.BOX内で水平主筋の重ね継手による一体化工法は、施工性の信頼性が高く、強度、剛性についても以上の実験結果をふまえて適切なラップ長とシャーコネクターの配慮をすれば、十分安全な構造体を確保できるといえよう。

実験 シリーズ	試験体	鉄筋 重ね 継手 長 As=A's kg/cm <sup>2</sup>	コンクリート F <sub>c</sub> Ec (kg/cm <sup>2</sup> )	G <sub>ct</sub> 材 令 GL-m	試験 体の 深さ	降伏荷重						最大荷重 付着 実 実 P <sub>max</sub> kg/cm <sup>2</sup>	
						中央部			接合面				
						実 Py ↑	計 B <sub>1</sub> ↑	実 B <sub>1</sub> /B <sub>1</sub>	実 Py ↑	計 B <sub>2</sub> ↑	実 B <sub>2</sub> /B <sub>2</sub>		
曲 げ	N49-B J49-B J49A-B (36φ) (5-D19)	385 426 333 360	262 255 21 25	23 21 53 52	49 53 53 53	-1.15	83.6 70.4 -2.09 地 上	81.6 75.8 102.3 82.6 76.5	1.02 0.93 1.07 1.08 1.08	— 70.4 81.6 81.6 — —	— 0.86 0.83 0.83 — —	111.6 110.1 102.3 104.1 103.1	1.37 27.7 30.4 1.36 30.7
B	No.49-B Jo.49-B	319 426	2.42 2.42	27 27	96 96	地 上 製作	82.6 67.9	76.5 70.9	1.08 0.96	— 92.9	76.5 1.21	— 103.1	1.36 30.7

注) \*1) J.BOX 鉄筋籠 (1) 接合面にシャーコネクターはない。

\*2) 接合面の降伏荷重を用いる (2) 計算式、記号はBSシリーズと同じ

表-2 Bシリーズの試験体一覧表と実験結果

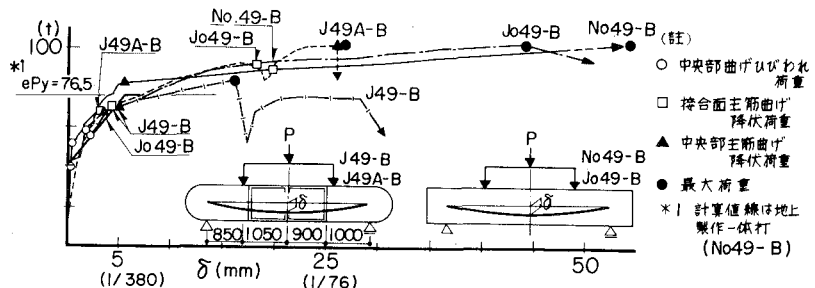


図-4 荷重～変位曲線(スパン中央部)

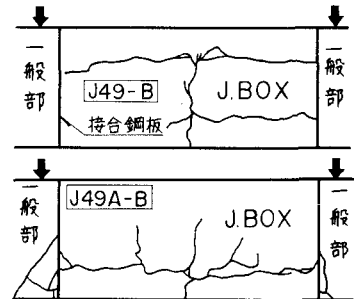


図-5 ひびわれ状況図

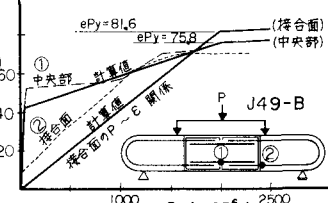


図-6 荷重～歪度曲線